

# Föreläsning 14: Implementering

- ▶ Repetition
- ▶ Sampling
- ▶ Alias
- ▶ Diskretisering av processmodell
- ▶ Diskretisering av regulator
- ▶ Andra implementeringsaspekter

## Lärandemål:

- ▶ Implementera enkla regulatorer med dator, förstå sampling och vikningseffekten.

# Repetition – tillståndsåterkoppling

Då tillstånden är mätbara kan vi använda *tillståndsåterkoppling*:

$$\text{Processen:} \quad \begin{cases} \dot{x}(t) &= Ax(t) + Bu(t) \\ y(t) &= Cx(t) \end{cases}$$

$$\text{Regulatorn:} \quad u(t) = -L_u x(t) + K_r r(t),$$

där  $L_u = [l_1 \ l_2 \ \dots \ l_n]$  och  $K_r$  är en skalär.

Det återkopplade systemet ges av

$$\begin{cases} \dot{x}(t) &= (A - BL_u)x(t) + BK_r r(t) \\ y(t) &= Cx(t) \end{cases}$$

$L_u = [l_1 \ l_2 \ \dots \ l_n]$  bestäms så att det återkopplade systemet får önskade poler, där polerna ges av egenvärdena till matrisen  $A - BL_u$ .

På detta sätt kan man godtyckligt placera polerna för det slutna systemet, under förutsättning att det ursprungliga systemet är *styrbart*.

Förstärkningen  $K_r$  bestäms vanligen så att  $G_{ry}(0) = 1$ .

Anm. Tillståndsåterkoppling av diskreta tillståndsmodeller görs på samma sätt!

# Tillståndsåterkoppling med integralverkan

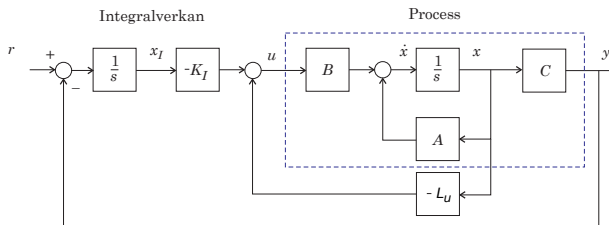
För att kompensera konstanta laststörningar kan man komplettera tillståndsåterkopplingen med integralverkan. Inför ett integraltillstånd

$$x_I(t) = \int_0^t (r(\tau) - y(\tau)) d\tau$$

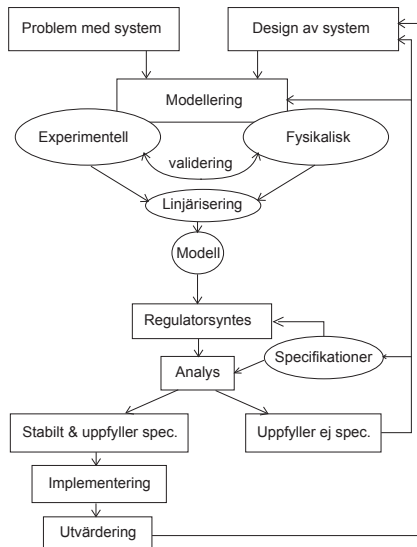
och skapa en utökad tillståndsmodell

$$\frac{d}{dt} \begin{bmatrix} x(t) \\ x_I(t) \end{bmatrix} = \begin{bmatrix} A & 0 \\ -C & 0 \end{bmatrix} \begin{bmatrix} x(t) \\ x_I(t) \end{bmatrix} + \begin{bmatrix} B \\ 0 \end{bmatrix} u(t) + \begin{bmatrix} 0 \\ 1 \end{bmatrix} r(t)$$

för vilken återkopplingsmatrisen  $[L_u \quad K_i]$  beräknas.

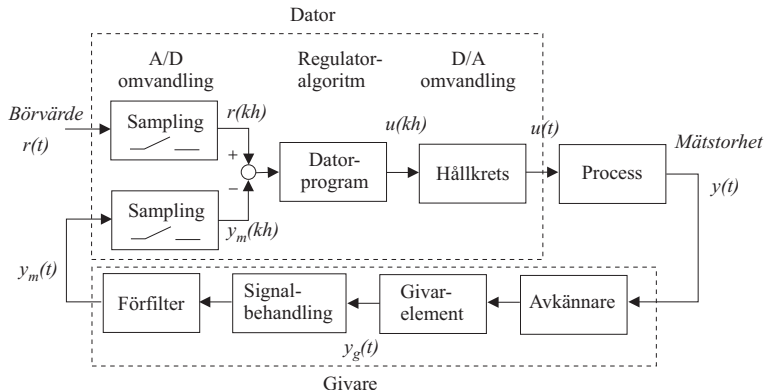


# Reglerdesign – arbetsflöde



# Datorimplementering av reglersystem

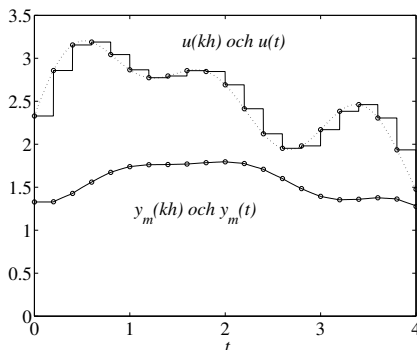
Ett reglersystem implementeras oftast med dator/mikrocontroller:



# Samplad reglering

Implementering med dator innebär:

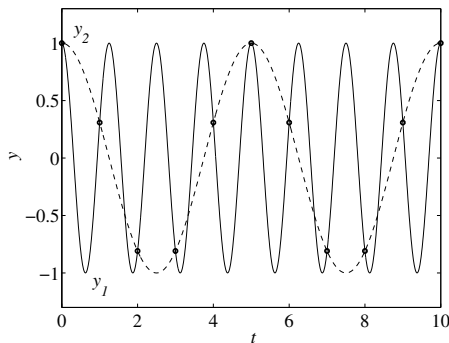
- ▶ *Sampling* av processvariabler (A/D-omvandling)
- ▶ *Hållning* av styrvariabler (D/A-omvandling)



# Aliaseffekten

## Konsekvens 1:

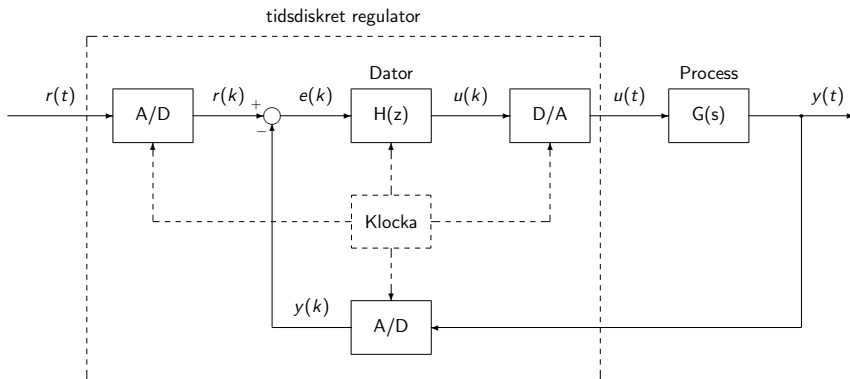
- Information går förlorad vid sampling



- Figuren: olika sinussignaler kan ge samma samplade signal!
- Viktigt att lågpassfiltrera före sampling

## Konsekvens 2:

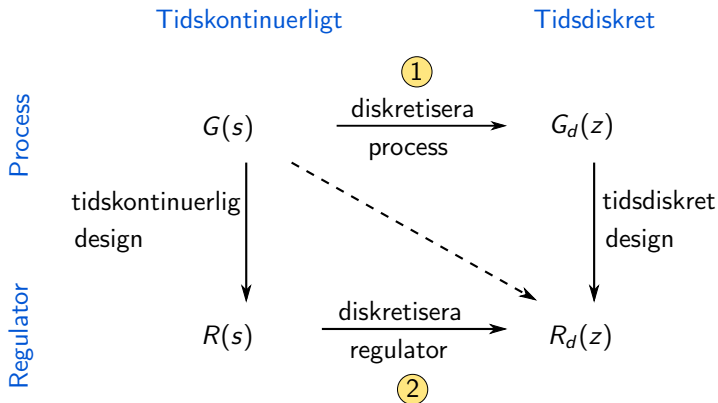
- ▶ Processen är (oftast) tidskontinuerlig
- ▶ Regulatorn är tidsdiskret





# Diskretisering

Diskretisering kan göras på olika sätt:



# 1. Diskretisering av process

Enklaste idén att gå från en kontinuerlig modell till en diskret: ersätt derivatan med en *differensapproximation* med *samplingsintervallet*  $h$ :

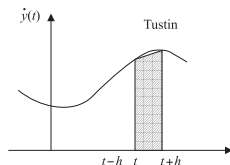
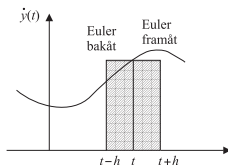
1.  $\dot{y}(t) \approx \frac{1}{h}(y(t) - y(t - h)) = \frac{1}{h}(y(kh) - y((k - 1)h))$  "Euler bakåt"

2.  $\dot{y}(t) \approx \frac{1}{h}(y(t + h) - y(t)) = \frac{1}{h}(y((k + 1)h) - y(kh))$  "Euler framåt"

En metod, som har vissa fördelar (vi återkommer till dessa), bygger på trapetsregeln för numerisk integration:

3.  $\hat{\dot{y}}(t) \approx \frac{2}{h}(y(t) - y(t - h)) - \hat{\dot{y}}(t - h)$  *Tustins/bilinjär approximation*

där  $\hat{\dot{y}}(t)$  är approximationen av  $\dot{y}(t)$ .



# Diskretisering: exempel

Tidskontinuerlig modell:

$$\dot{y}(t) + ay(t) = bu(t) \quad (6)$$

Euler bakåt ger

$$\frac{1}{h}(y(t) - y(t-h)) + ay(t) = bu(t)$$

Vi intresserar oss nu bara för samplingstidpunkterna  $t = kh$ ,  $k = 1, 2, \dots$ .  
Detta ger en tidsdiskret modell i form av en *differencekvation*:

$$\begin{aligned} \frac{1}{h}(y(kh) - y((k-1)h)) + ay(kh) &= bu(kh) \quad \Leftrightarrow \\ (1 + ah)y(k) - y(k-1) &= bhu(k) \end{aligned} \quad (7)$$

där för enkelhets skull samplingsintervallet valts som tidsenhet, dvs  $h = 1$ .  
Notera att modellen (7) är en *algorithm* för att beräkna systemets utsignal!

# Fördröjningsoperatorn

Exemplet gav en modell i form av en differensekvation:

$$(1 + ah)y(k) - y(k - 1) = bhu(k)$$

Genom att införa *fördröjningsoperatorn*  $q^{-1}$  med egenskapen  $q^{-1}y(t) = y(t - 1)$  kan vi skriva detta i en mer kompakt form:

$$((1 + ah) - q^{-1})y(k) = bhu(k)$$

eller

$$y(k) = \frac{bh}{(1 + ah) - q^{-1}} u(k)$$

**OBS!** Det sista resultatet kan vi också få direkt från (6) genom att ersätta differentialoperatorn  $p$  med  $\frac{1}{h}(1 - q^{-1})$ :

$$\frac{b}{p + a} \rightarrow \frac{bh}{(1 + ah) - q^{-1}}$$

# Diskretisering av tillståndsmodeller

Anta vi har en tillståndsmodell för vår process (anta  $D = 0$ ):

$$\begin{aligned}\dot{x}(t) &= Ax(t) + Bu(t) \\ y(t) &= Cx(t)\end{aligned}\tag{8}$$

Om processen styrs av en dator, så är styrsignalen styckvis konstant:

$$u(t) = u(kh), \quad kh \leq t < (k+1)h$$

Om detta utnyttjas i den allmänna lösningen till (8), nämligen

$$x(t) = e^{A(t-t_0)}x(t_0) + \int_{t_0}^t e^{A(t-\tau)}Bu(\tau)d\tau,$$

så fås (sätt  $t = (k+1)h$ ,  $t_0 = kh$ , utnyttja att styrsignalen är konstant över intervallet, samt välj till sist  $h = 1$ ):

$$x(k+1) = e^{Ah}x(k) + \left( \int_0^h e^{A\tau}B d\tau \right) u(k)$$

# Tidsdiskret tillståndsmodell

Resultatet av diskretiseringen är en tidsdiskret tillståndsmodell, som är en *exakt* beskrivning av processen *vid samplingstidpunkterna*:

$$\begin{aligned}x(k+1) &= \Phi x(k) + \Gamma u(k) \\ y(k) &= Cx(k)\end{aligned}$$

där

$$\Phi = e^{Ah} \quad \Gamma = \int_0^h e^{A\tau} B d\tau$$

- ▶ Systemets överföringsfunktion är

$$H(z) = C(zI - \Phi)^{-1}\Gamma$$

- ▶ Polerna ges av egenvärdena till matrisen  $\Phi$
- ▶ Egenvärdena till  $\Phi$  är  $\{e^{\lambda_i h}\}$ , där  $\{\lambda_i\}$  är egenvärdena till  $A$ . Transformationen från  $s$ -planet till  $z$ -planet är alltså:

$$z = e^{sh}$$

Notera att stabila poler ( $\text{Re } s < 0$ ) avbildas på stabila poler ( $|z| < 1$ )!

# Diskreta LTI-modeller — översikt

Vi kan nu komplettera vår “karta” över olika LTI-modeller i det tidsdiskreta fallet:

$$a(q)y(k) = b(q)u(k) \quad \xrightarrow{\mathcal{Z}} \quad a(z)Y(z) = b(z)U(z)$$

$$\downarrow H(z) = \frac{b(z)}{a(z)}$$

$$y(k) = \sum_{i=0}^k h(k-i)u(i) \quad \xleftarrow{\mathcal{Z}^{-1}}$$

$$Y(z) = H(z)U(z)$$

$$\uparrow h(k) = C\Phi^{k-1}\Gamma$$

$$\uparrow H(z) = C(zI - \Phi)^{-1}\Gamma$$

$$\begin{aligned} x(k+1) &= \Phi x(k) + \Gamma u(k) & \xrightarrow{\mathcal{Z}} & z(X(z) - x(0)) = \Phi X(z) + \Gamma U(z) \\ y(k) &= Cx(k) & & Y(z) = CX(z) \end{aligned}$$

$$\Phi = e^{Ah} \uparrow \Gamma = \int_0^h e^{A\tau} B d\tau$$

$$\begin{aligned} \dot{x}(t) &= Ax(t) + Bu(t) \\ y(t) &= Cx(t) \end{aligned}$$

# Diskretisering: egenskaper

Diskretisering av tillståndsmodell:

- ▶ Ger en tidsdiskret tillståndsmodell, som är en exakt beskrivning i samplingstidpunkterna
- ▶ Polerna avbildas enligt  $z = e^{sh}$  (t ex VHP  $\rightarrow$  enhetscirkeln)
- ▶ Ett stabilt system förblir stabilt efter tidsdiskretiseringen

De enkla diskretiseringsmetoderna (Euler, Tustin) kan ses som approximationer av relationen  $z = e^{sh}$ :

$$z = e^{sh} \approx 1 + sh \Rightarrow s = \frac{1}{h}(z - 1)$$

$$z = e^{sh} = \frac{1}{e^{-sh}} \approx \frac{1}{1 - sh} \Rightarrow s = \frac{1}{h}(1 - z^{-1})$$

$$z = e^{sh} = \frac{e^{sh/2}}{e^{-sh/2}} \approx \frac{1 + sh/2}{1 - sh/2} \Rightarrow s = \frac{2}{h} \frac{z - 1}{z + 1} = \frac{2}{h} \frac{1 - z^{-1}}{1 + z^{-1}}$$

Tustins approximation har en intressant egenskap. Trots att den fås genom en approximation av  $z = e^{sh}$ , så avbildas stabila poler på stabila, tidsdiskreta poler (och instabila på instabila).



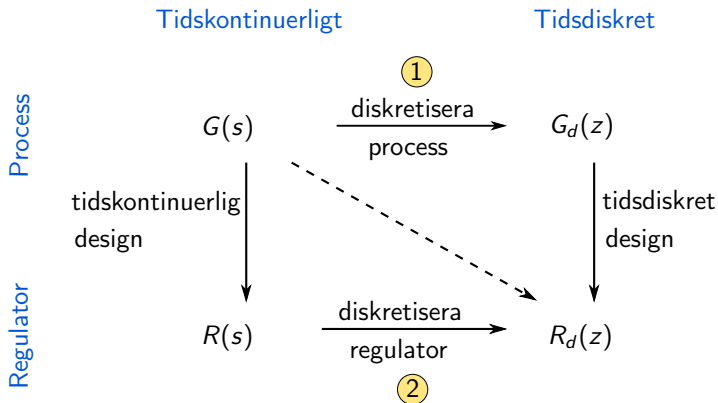
För det tidsdiskreta systemet med överföringsfunktion  $H(z)$  definieras *frekvensfunktionen*

$$H(e^{i\omega h}), \quad \omega \in [0, \pi/h]$$

- ▶ Frekvensfunktionen beräknas alltså för  $z = e^{i\omega h}$ , dvs punkter längs enhetscirkeln från  $z = 1$  ( $\omega = 0$ ) till  $z = -1$  ( $\omega = \pi/h$ ).
- ▶ Frekvensen  $\omega_N = \pi/h = \omega_s/2$ , där  $\omega_s$  är samplingsfrekvensen, kallas *Nyquist-frekvensen*.
- ▶ Frekvensfunktionen är periodisk med perioden  $2\pi/h$ .
- ▶ För att undvika aliasing, så bör alla frekvenser över Nyquistfrekvensen filtreras bort.

# Diskretisering

Diskretisering kan göras på olika sätt:



## 2. Diskretisering av regulator

De approximativa diskretiseringsmetoderna används ofta när man skall "översätta" en tidskontinuerlig regulator till motsvarande tidsdiskreta form.

Exempel: Diskretisering av PID-regulator

$$U(s) = \underbrace{K_P(R(s) - Y(s))}_{U_P} + \underbrace{\frac{K_i}{s}(R(s) - Y(s))}_{U_I} - \underbrace{K_D s Y(s)}_{U_D}$$

Notera att man ofta skippar D-verkan på  $r(t)$ !

$$U_P : u_P = K_P(r(k) - y(k))$$

$$U_I : s = \frac{q-1}{h} \Rightarrow u_I(k) = \frac{K_i h}{q-1}(r(k) - y(k))$$

$$\Rightarrow u_I(k+1) = u_I(k) + K_i(r(k) - y(k))$$

$$U_D : s = \frac{1-q^{-1}}{h}$$

$$\Rightarrow u_D(k) = K_D \frac{1-q^{-1}}{h} y(k) = K_D \frac{y(k) - y(k-1)}{h}$$

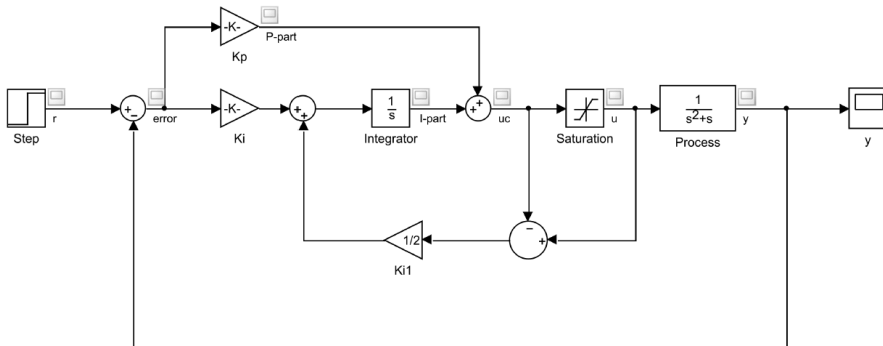
Förutom själva regleralgoritmen behöver man tänka på bl.a. följande saker vid implementeringen:

- ▶ Val av samplingsintervall (tumregel:  $\omega_s = (10 - 20) \cdot \omega_B$ )
- ▶ Anti-windup
- ▶ Ryckfri övergång

# Anti-windup

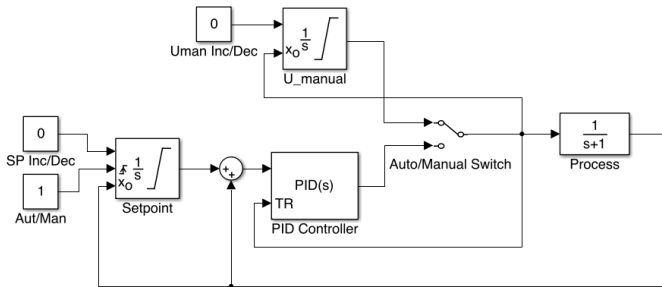
*Windup* (eller *integrator windup*, integratoruppvridding) kan uppstå då styrsignalen mätas och regulatorns I-del fortsätter att öka för att kompensera ett kvarstående fel.

*Anti-windup* innebär i stort sett att integrationen stängs av då styrsignalen mätas.



# Ryckfri övergång

Ofta finns i verkliga implementeringar av regulatorer en möjlighet att växla mellan olika *regulator-moder*, t ex manuell och automatik. Vid växlingen vill man inte ha några hopp i styrsignalen, och därför förser man regulatorn med lite logik för att få *ryckfri övergång* (eng. *bumpless transfer*).



Man -> Auto: set SP to output